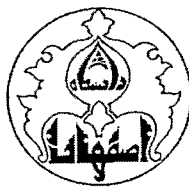


سُبْحَانَ رَبِّ الْعَالَمِينَ

۱۹۸۶



دانشگاه اصفهان

دانشکده علوم

گروه فیزیک

## پایان نامه‌ی کارشناسی ارشد رشته‌ی فیزیک گرایش آزاد

بررسی خواص ساختاری، الکترونی، مغناطیسی و اپتیکی ترکیب‌های

$\text{FeAlX}(\text{X}=\text{Ni, Co})$  و  $\text{Ni}_2\text{FeX}$ ,  $\text{Fe}_2\text{NiX}(\text{X}=\text{Al, Ga})$

استادان راهنما:

دکتر سید مجتبی مستجاب الدعواتی

دکتر محمد رضا عبدی

استاد مشاور:

دکتر زهرا نوربخش

دانشگاه مازندران  
رشته مهندسی

۱۳۸۸/۱۰/۲۷

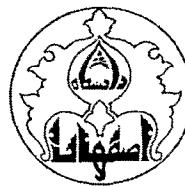
پژوهشگر:

مریم مقیمی

شهریور ماه ۱۳۸۸

۱۲۹۷۷۵

کلیهی حقوق مادی مترتب بر نتایج مطالعات، ابتكارات  
و نوآوری‌های ناشی از تحقیق موضوع این پایان نامه  
متعلق به دانشگاه اصفهان است.



دانشگاه اصفهان

دانشکده علوم

گروه فیزیک

## پایان نامه‌ی کارشناسی ارشد رشته‌ی فیزیک گرایش آزاد خانم

### مریم مقیمی تحت عنوان

بررسی خواص ساختاری، الکترونی، مغناطیسی و اپتیکی ترکیب‌های

$\text{Ni}_2\text{FeX}$ ,  $\text{Fe}_2\text{NiX}$ ( $\text{X}=\text{Al, Ga}$ )

و  $\text{FeAlX}$ ( $\text{X}=\text{Ni, Co}$ )

در تاریخ ۱۳۸۸/۶/۱۸ توسط هیأت داوران زیر بررسی و با درجه

امضا

۱- استاد راهنمای پایان نامه دکتر مجتبی مستجاب الدعواتی با مرتبه‌ی علمی استادیار

امضا

۲- استاد راهنمای پایان نامه دکتر محمد رضا عبدالی با مرتبه‌ی علمی استادیار

امضا

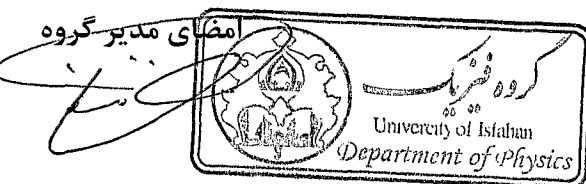
۳- استاد مشاور پایان نامه دکتر زهرا نوربخش با مرتبه‌ی علمی استادیار

امضا

۴- استاد داور داخل گروه دکتر محمدعلی شاهزمانیان با مرتبه‌ی علمی استاد

۵- استاد داور خارج از گروه دکتر علی مختاری با مرتبه‌ی علمی استادیار

امضا مدیر گروه



## خداوند

چنان سایه حضورت را در تمام مراحل کارم احساس کرده‌ام که گاه می‌اندیشم کدام خطه مهربانی است و مگنیر نبود؛ که اگر نبود

آغاز و انجام کار میسر نمی‌کشت.

خداوند ایشین دارم این من، به تنهایی قادر به آفرینش این ذرّه نبود، ارج می‌نمم حضور ویاری استادان اندیشمند و متعهدم دکتر

سبحان و دکتر عبدی را که علم و اخلاق را تو لان از ایشان آموختم.

تقدیم به

پدرم که چتر سبز محبتش پشتیبان همیشگی من بوده

و

مادرم که زمزمه مناجات های عاشقانه اش برکت زندگی ام بوده

و

همسرم که یار و همراه همیشگی من است.

## چکیده

در این کار ساختار الکترونی ترکیب‌های سه‌گانه هاسلر نوع  $L2_1$  و  $FeAlX$  ( $X = Ni, Co$ )  $C1_b$  و ترکیب‌های نوع  $Ni_2FeX$ ,  $Fe_2NiX$  ( $X = Al, Ga$ ) بر پایه‌ی روش امواج تخت بهبود یافته‌ی خطی با پتانسیل کامل محاسبه شده است. این روش بر پایه‌ی نظریه‌ی تابعی چگالی و بر اساس تقریب‌های شبیه تعمیم یافته GGA، چگالی موضعی LDA+U با نهاده شده است. ویژگی‌های الکترونی، ساختاری، مغناطیسی و اپتیکی این ترکیب‌ها با استفاده از نظریه‌ی تابعی چگالی توسط بسته‌ی نرم افزاری wien2k محاسبه شده است. در این کد نرم افزاری سلول واحد به کره‌های مافین تین غیر همپوشاننده به شاعع  $R_{MT}$  و یک منطقه‌ی درون شبکه‌ای مجزا شده است، که توابع موج کان-شم بر حسب هارمونیک‌های کروی درون کره‌ها و امواج تخت در فضای باقیمانده‌ی سلول واحد بیان شده است. ویژگی‌های حالت پایه‌ی این ترکیب‌ها با استفاده از محاسبات انرژی کل به صورت تابعی از حجم به دست آمده است. محاسبات نشان می‌دهد در همه‌ی ترکیب‌ها در فشار صفر فاز فرومغناطیس پایدار است. با رسم چگالی حالت‌های الکترونی کل و جزئی و ساختار نواری در حالت فرومغناطیس ویژگی‌های الکترونی در فاز فرومغناطیس محاسبه شده است. ویژگی‌های اپتیکی این ترکیب‌ها با استفاده از نمودارهای بخش حقیقی و موهومی تابع دی الکتریک وابسته به بسامد و تابع جذب و بازتاب آن‌ها محاسبه شده است. برای بررسی رفتار گشتاور مغناطیسی این ترکیب‌های فرومغناطیس، گشتاور مغناطیسی کل ترکیب‌ها و هر یک از اتم‌های آن را در فشارهای مختلف محاسبه کردایم. نتایج نشان می‌دهد که اتم Fe نقش عمدی‌ای در ایجاد گشتاور مغناطیسی دارد.

## کلید واژه‌ها:

نظریه‌ی تابعی چگالی، چگالی حالت‌های الکترونی، نوارهای انرژی، گشتاور مغناطیسی

## فهرست مطالب

صفحه	عنوان
	<b>فصل اول زمینه‌ی نظری و تجربی آبیازهای هاسلر</b>
۱	۱-۱ مقدمه.....
۲	۲-۱ ویژگی‌های ساختاری.....
۴	۳-۱ ویژگی‌های مغناطیسی.....
۴	۳-۲ فرومغناطیس‌ها.....
۶	۳-۳ آنتی‌فرومغناطیس و فرمغناطیس‌ها.....
۶	۳-۳-۱ مغناطیس جایگزینه در مقابل مغناطیس سیار.....
۷	۴-۱ محاسبات ساختار نواری.....
۷	۴-۲ آرایش گشتاورهای مغناطیسی.....
۸	۴-۳ فرمغناطیس نیم فلزی.....
۱۰	۴-۴-۱ رفتار پائولی- اسلیتر.....
۱۱	۵-۱ دسته بندی سیستم‌های نیم فلزی.....
۱۲	۵-۲ منشاء گاف نیم فلزی.....
۱۳	۵-۳ الف گاف‌های نواری کوالانسی.....
۱۴	۵-۴ ب گاف‌های نواری حامل بار.....
۱۴	۵-۵-۱ پ مواد با گاف نواری d-d
	<b>فصل دوم نظریه‌ی تابعی چگالی</b>
۱۵	۱-۲ مقدمه.....
۱۶	۲-۱ نظریه‌ی تابعی چگالی.....
۱۶	۲-۲ نظریه‌ی کان- هوهنبرگ.....
۱۶	۲-۳ الف سیستم‌های بس ذرهای.....
۲۰	۲-۴ معادلات کان- شم.....
۲۳	۳-۱ تقریب چگالی موضعی (LDA) برای تابعی تبادلی- همبستگی.....
۲۴	۳-۲ سیستم غیر برهمنکنی.....
۲۵	۴-۱ تقریب شبیه تعمیم یافته (GGA)

صفحه	عنوان
۲۶	۴-۲ روش پردو
۲۷	۵-۲ تقریب LDA+U
<b>فصل سوم خواص ساختاری، الکترونی، مغناطیسی و اپتیکی ترکیب‌های <math>Ni_2FeX</math> (<math>X = Al, Ga</math>)</b>	
۳۰	۱-۳ مقدمه
۳۱	۲-۳ خواص ساختاری و الکترونی ترکیب‌های $Ni_2FeX$ ( $X = Al, Ga$ )
۳۱	۱-۲-۳ خواص ساختاری ترکیب‌های $Ni_2FeX$ ( $X = Al, Ga$ )
۳۱	۱-۲-۳ معادله‌ی حالت مورنگان
۳۲	۱-۲-۳ الف ثابت شبکه‌ی تعادلی
۳۵	۱-۲-۳ ب مدول حجمی
۳۵	۱-۲-۳ پ مشتق مدول حجمی
۳۵	۳-۳ ویژگی‌های الکترونی ترکیب‌های $Ni_2FeX$ ( $X = Al, Ga$ )
۳۵	۱-۳ نوارهای انرژی
۳۸	۱-۱-۳ مقایسه‌ی نوارهای انرژی در تقریب‌های LDA+U و GGA و LDA
۳۹	۲-۳ چگالی حالت‌های الکترونی
۴۷	۴-۳ تعیین پارامتر هابارد ترکیب‌های $Ni_2FeGa$ و $Ni_2FeAl$
۴۷	۱-۴-۳ پارامتر هابارد U
۴۷	۲-۴-۳ محاسبه‌ی پارامتر هابارد U به صورت ابتدا به ساکن
۵۴	۵-۳ ویژگی‌های مغناطیسی
۵۴	۱-۵-۳ تاثیر فشار بر گشتاور مغناطیسی
۵۵	۶-۳ ویژگی‌های اپتیکی ترکیب‌های $Ni_2FeGa$ و $Ni_2FeAl$
<b>فصل چهارم خواص ساختاری، الکترونی، مغناطیسی و اپتیکی ترکیب‌های <math>Fe_2NiX</math> (<math>X = Al, Ga</math>)</b>	
۵۷	۱-۴ مقدمه
۵۸	۲-۴ خواص ساختاری و الکترونی ترکیب‌های $Fe_2NiX$ ( $X = Al, Ga$ )
۵۸	۱-۲-۴ خواص ساختاری ترکیب‌های $Fe_2NiX$ ( $X = Al, Ga$ )
۶۱	۲-۲-۴ خواص الکترونی ترکیب‌های $Fe_2NiX$ ( $X = Al, Ga$ )
۶۱	۱-۲-۲-۴ نوارهای انرژی
۶۳	۲-۲-۲-۴ چگالی حالت‌های الکترونی
۷۱	۳-۴ تعیین پارامتر هابارد ترکیب‌های $Fe_2NiGa$ و $Fe_2NiAl$

صفحه	عنوان
۷۶	۴-۴ ویژگی‌های مغناطیسی
۷۶	۴-۴-۱ تأثیر فشار بر گشتاور مغناطیسی
۷۷	۴-۵ ویژگی‌های اپتیکی ترکیب $Fe_2NiGa$
فصل پنجم ویژگی‌های الکترونی، ساختاری، مغناطیسی و اپتیکی ترکیب‌های ( $FeAlX$ ( $X = Ni, Co$ ))	
۷۸	۱-۵ مقدمه
۷۹	۲-۵ ویژگی‌های ساختاری ترکیب‌های $FeAlX$ ( $X = Ni, Co$ )
۸۱	۳-۵ ویژگی‌های الکترونی ترکیب‌های $FeAlX$ ( $X = Ni, Co$ )
۸۱	۴-۵ نوارهای انرژی
۸۳	۲-۳-۵ مقایسه‌ی چگالی حالت‌های الکترونی در تقریب‌های LDA و LDA+U
۹۱	۴-۵ ویژگی‌های مغناطیسی
۹۳	۴-۴-۵ تأثیر فشار بر گشتاور مغناطیسی
۹۴	۵-۵ ویژگی‌های اپتیکی ترکیب‌های $FeAlCo$ و $FeAlNi$
۹۴	۶-۵ نتیجه گیری
۹۶	منابع و مأخذ

## فهرست شکل‌ها

عنوان	
صفحة	
شکل ۱-۱ (a) ساختارهای $C1_b$ و $L2_1$ آلیاژهای نیم و تمام هاسلر. (b) آرایش‌های ممکن برای اشغال زیرشبکه‌های $Y$ و $Z$ در ساختار بی‌نظم ..... ۳	شکل ۱-۱
شکل ۲-۱ سمت چپ: گشتاورهای مغناطیسی جایگزیده مربوط به الکترون‌های غیرجایگزیده، سمت راست: نمودار مربوط به چگالی حالت‌های الکترونی $d$ برای $Cu_2MnAl$ ..... ۸	شکل ۲-۱
شکل ۳-۱ سمت چپ: ساختار نواری فرومغناطیس نیم‌فلزی $NiMnSb$ سمت راست: چگالی حالت‌های الکترونی هر یک از اتم‌های $NiMnSb$ ..... ۹	شکل ۳-۱
شکل ۴-۱ تصویر شماتیک گاف نواری در نوار انرژی با اسپین پایین در آلیاژهای نیم‌هاسلر ..... ۱۲	شکل ۴-۱
شکل ۵-۱ سمت چپ: گشتاورهای اسپینی کل محاسبه شده برای آلیاژهای نیم‌هاسلر، سمت راست: آلیاژهای تمام هاسلر ..... ۱۱	شکل ۵-۱
شکل ۶-۱ نمودار $n$ بر حسب $\varepsilon_{XC}$ ..... ۲۴	شکل ۶-۱
شکل ۷-۱ نمودارهای چگالی $n(r)$ بر حسب فاصله $r$ و انرژی تبادلی همبستگی $\varepsilon_{XC}$ ..... ۲۵	شکل ۷-۱
شکل ۸-۱ نمودار تغییرات انرژی بر حسب حجم ترکیب‌های $Ni_2FeGa$ و $Ni_2FeAl$ در تقریب‌های GGA و LDA+U ..... ۳۳	شکل ۸-۱
شکل ۹-۱ الف نمودار نوارهای انرژی ترکیب‌های $Ni_2FeX$ ( $X=Al, Ga$ ) در فاز فرومغناطیس در تقریب GGA ..... ۳۶	شکل ۹-۱
شکل ۹-۲ ب نمودار نوارهای انرژی ترکیب‌های $Ni_2FeX$ ( $X=Al, Ga$ ) در فاز فرومغناطیس در تقریب LDA ..... ۳۷	شکل ۹-۲
شکل ۹-۳ ب نمودار نوارهای انرژی ترکیب‌های $Ni_2FeX$ ( $X=Al, Ga$ ) در فاز فرومغناطیس در تقریب LDA+U ..... ۴۸	شکل ۹-۳
شکل ۱۰-۱ الف نمودار چگالی حالت‌های الکترونی کل هر یک از ترکیب‌های $Ni_2FeX$ ( $X=Al, Ga$ ) در تقریب‌های GGA, LDA+U و LDA ..... ۴۰	شکل ۱۰-۱
شکل ۱۱-۱ الف نمودار چگالی حالت‌های الکترونی هر یک از اوربیتال‌های اتم $Ni$ در تقریب GGA ..... ۴۱	شکل ۱۱-۱
شکل ۱۱-۲ ب نمودار چگالی حالت‌های الکترونی هر یک از اوربیتال‌های اتم $Ni$ در تقریب GGA ..... ۴۲	شکل ۱۱-۲
شکل ۱۱-۳ پ نمودار چگالی حالت‌های الکترونی هر یک از اوربیتال‌های اتم $Fe$ در تقریب GGA ..... ۴۳	شکل ۱۱-۳
شکل ۱۱-۴ ت نمودار چگالی حالت‌های الکترونی هر یک از اوربیتال‌های اتم $Fe$ در تقریب GGA ..... ۴۴	شکل ۱۱-۴
شکل ۱۱-۵ ث نمودار چگالی حالت‌های الکترونی هر یک از اوربیتال‌های اتم‌های $Al$ و $Ga$ در تقریب GGA ..... ۴۵	شکل ۱۱-۵
شکل ۱۱-۶ ی نمودار چگالی حالت‌های الکترونی هر یک از اوربیتال‌های اتم‌های $Al$ و $Ga$ در تقریب GGA ..... ۴۶	شکل ۱۱-۶

## عنوان

## صفحه

شکل ۳-۴ نمودارهای گشتاور مغناطیسی کل و سهم هر یک از اتم‌های ترکیب‌های $Ni_2FeX$ ( $X=Al, Ga$ ) بر حسب پارامتر هابارد $U$ .....	۴۹
شکل ۳-۵ الف نمودار چگالی حالت‌های الکترونی الکترون‌های $d$ اتم $Ni$ در ترکیب $Ni_2FeGa$ با تقریب‌های $LDA+U$ و $LDA$ .....	۵۰
شکل ۳-۵ ب نمودار چگالی حالت‌های الکترونی الکترون‌های $d$ اتم $Fe$ در ترکیب $Ni_2FeGa$ با تقریب‌های $LDA+U$ و $LDA$ .....	۵۱
شکل ۳-۵ پ نمودار چگالی حالت‌های الکترونی الکترون‌های $d$ اتم $Ni$ در ترکیب $Ni_2FeAl$ با تقریب‌های $LDA+U$ و $LDA$ .....	۵۲
شکل ۳-۵ ت نمودار چگالی حالت‌های الکترونی الکترون‌های $d$ اتم $Fe$ در ترکیب $Ni_2FeAl$ با تقریب‌های $LDA+U$ و $LDA$ .....	۵۳
شکل ۶-۳ نمودار گشتاور مغناطیسی کل و گشتاور مغناطیسی هر یک از اتم‌های ترکیب‌های $Ni_2FeAl$ و $Ni_2FeGa$ .....	۵۴
شکل ۷-۳ نمودارهای بخش حقیقی و موهومی تابع دی الکترونیک، جذب و ضریب بازتاب بر حسب انرژی برای ترکیب‌های $Ni_2FeGa$ و $Ni_2FeAl$ .....	۵۶
شکل ۴-۱ نمودار تغییرات انرژی بر حسب حجم ترکیب‌های $Fe_2NiGa$ و $Fe_2NiAl$ در تقریب‌های $LDA$ ، $GGA$ و $LDA+U$ .....	۶۰
شکل ۴-۲ الف نمودار نوارهای انرژی ترکیب $Fe_2NiX$ ( $X= Al, Ga$ ) در فاز فرومغناطیس در تقریب $GGA$ .....	۶۱
شکل ۴-۲ ب نمودار نوارهای انرژی ترکیب $Fe_2NiX$ ( $X= Al, Ga$ ) در فاز فرومغناطیس در تقریب $LDA$ .....	۶۲
شکل ۴-۲ پ نمودار نوارهای انرژی ترکیب $Fe_2NiX$ ( $X= Al, Ga$ ) در فاز فرومغناطیس در تقریب $LDA+U$ .....	۶۲
شکل ۴-۳ نمودار چگالی حالت‌های الکترونی کل ترکیب‌های $Fe_2NiX$ ( $X= Al, Ga$ ) در تقریب‌های $LDA$ و $GGA$ و $LDA+U$ .....	۶۴
شکل ۴-۴ الف نمودار چگالی حالت‌های الکترونی هر یک از اوربیتال‌های اتم $Fe$ در تقریب $GGA$ .....	۶۵
شکل ۴-۴ ب نمودار چگالی حالت‌های الکترونی هر یک از اوربیتال‌های اتم $Fe$ در تقریب $GGA$ .....	۶۶
شکل ۴-۴ پ نمودار چگالی حالت‌های الکترونی هر یک از اوربیتال‌های اتم $Ni$ در تقریب $GGA$ .....	۶۷
شکل ۴-۴ ت نمودار چگالی حالت‌های الکترونی هر یک از اوربیتال‌های اتم $Ni$ در تقریب $GGA$ .....	۶۸
شکل ۴-۴ ث نمودار چگالی حالت‌های الکترونی هر یک از اوربیتال‌های اتم‌های $Al$ و $Ga$ در تقریب $GGA$ .....	۶۹
شکل ۴-۴ ی نمودار چگالی حالت‌های الکترونی هر یک از اوربیتال‌های اتم‌های $Al$ و $Ga$ در تقریب $GGA$ .....	۷۰

## عنوان

### صفحه

شکل ۴-۴ نمودارهای گشتاور مغناطیسی کل و سهم هر یک از اتمهای ترکیب‌های $Fe_2NiX$ ( $X=Al, Ga$ ) بر حسب پارامتر هابارد $U$ ..... ۷۱	۵
شکل ۴-۶ الف نمودار چگالی حالت‌های الکترونی الکترون‌های $d$ اتم $Fe$ در ترکیب $Fe_2NiAl$ با تقریب‌های LDA+U و LDA ..... ۷۲	۶
شکل ۴-۶ ب نمودار چگالی حالت‌های الکترونی الکترون‌های $d$ اتم $Ni$ در ترکیب $Fe_2NiAl$ با تقریب‌های LDA+U و LDA ..... ۷۳	۶
شکل ۴-۶ پ نمودار چگالی حالت‌های الکترونی الکترون‌های $d$ اتم $Fe$ در ترکیب $Fe_2NiGa$ با تقریب‌های LDA+U و LDA ..... ۷۴	۶
شکل ۴-۶ ت نمودار چگالی حالت‌های الکترونی الکترون‌های $d$ اتم $Ni$ در ترکیب $Fe_2NiGa$ با تقریب‌های LDA+U و LDA ..... ۵۷	۶
شکل ۴-۷ نمودار گشتاور مغناطیسی کل و گشتاور مغناطیسی هر یک از اتمهای ترکیب‌های $Fe_2NiGa$ و $Fe_2NiAl$ ..... ۷۶	۷
شکل ۴-۸ نمودارهای بخش حقیقی و موهومی تابع دی الکترونیک، جذب و ضریب بازتاب بر حسب انرژی برای ترکیب $Fe_2NiGa$ ..... ۷۷	۸
شکل ۴-۹ نمودار تغییرات انرژی بر حسب حجم ترکیب‌های $FeAlCo$ و $FeAlNi$ در تقریب GGA و LDA ..... ۷۹	۹
شکل ۴-۱۰ الف نمودار نوارهای انرژی ترکیب $FeAlX$ ( $X=Ni, Co$ ) در فاز فرومغناطیس در تقریب GGA ..... ۸۱	۱۰
شکل ۴-۱۰ ب نمودار نوارهای انرژی ترکیب $FeAlX$ ( $X=Ni, Co$ ) در فاز فرومغناطیس در تقریب LDA ..... ۸۲	۱۰
شکل ۴-۱۰ پ نمودار نوارهای انرژی ترکیب $FeAlX$ ( $X=Ni, Co$ ) در فاز فرومغناطیس در تقریب U+LDA ..... ۸۲	۱۰
شکل ۴-۱۱ ۳ نمودار چگالی حالت‌های الکترونی کل ترکیب‌های $FeAlX$ ( $X=Ni, Co$ ) در سه تقریب GGA و LDA+U ..... ۸۴	۱۱
شکل ۴-۱۲ الف نمودار چگالی حالت‌های الکترونی جزئی اتم $Fe$ در تقریب $FeAlX$ ( $X=Ni, Co$ ) ..... ۸۵	۱۲
شکل ۴-۱۲ ب نمودار چگالی حالت‌های الکترونی جزئی اتم $Fe$ در تقریب $FeAlX$ ( $X=Ni, Co$ ) ..... ۸۶	۱۲
شکل ۴-۱۲ پ نمودار چگالی حالت‌های الکترونی جزئی اتم $Al$ در تقریب $FeAlX$ ( $X=Ni, Co$ ) ..... ۸۷	۱۲
شکل ۴-۱۲ ت نمودار چگالی حالت‌های الکترونی جزئی اتم $Al$ در تقریب $FeAlX$ ( $X=Ni, Co$ ) ..... ۸۸	۱۲

## عنوان

## صفحه

شکل ۴-۵ ث نمودار چگالی حالت‌های الکترونی جزئی اتم‌های Ni و Co ترکیب‌های FeAlX (X=Ni, Co) در تقریب GGA	۸۹
شکل ۴-۵ ی نمودار چگالی حالت‌های الکترونی جزئی اتم‌های Ni و Co ترکیب‌های FeAlX (X=Ni, Co) در تقریب GGA	۹۰
شکل ۵-۵ الف نمودار چگالی حالت‌های الکترون‌های d اتم Ni و Fe در ترکیب FeAlNi با تقریب LDA+U و LDA	۹۱
شکل ۵-۵ ب نمودار چگالی حالت‌های الکترون‌های اتم‌های d اتم Co و Ni در ترکیب FeAlCo با تقریب LDA+U و LDA	۹۲
شکل ۵-۶ نمودار گشتاور مغناطیسی کل و گشتاور مغناطیسی هر یک از اتم‌های ترکیب‌های FeAlCo و FeAlNi	۹۴
شکل ۷-۵ نمودارهای بخش حقیقی و موهومیتابع دی الکتریک، جذب و ضریب بازتاب بر حسب انرژی برای ترکیب‌های FeAlCo و FeAlNi	۹۵

## فهرست جدول‌ها

عنوان	صفحة
جدول ۱-۱ ترکیب، آرایش مغناطیسی و ساختار بلوری آلیاژهای هاسلر ..... ۵	
جدول ۳-۱ مقایسه پارامتر شبکه، مدول حجمی و مشتق آن در دو فاز فرومغناطیسی و غیرمغناطیسی برای ترکیب‌های $Ni_2FeAl$ و $Ni_2FeGa$ ..... ۳۴	
جدول ۳-۲ گشتاور مغناطیسی کل و جزئی هر یک از ترکیب‌های $Ni_2FeGa$ و $Ni_2FeAl$ ..... ۵۴	
جدول ۴-۱ مقایسه پارامتر شبکه، مدول حجمی و مشتق آن در دو فاز فرومغناطیسی و غیرمغناطیسی برای ترکیب‌های $Fe_2NiAl$ و $Fe_2NiGa$ ..... ۵۹	
جدول ۴-۲ گشتاور مغناطیسی کل و جزئی هر یک از ترکیب‌های $Fe_2NiAl$ و $Fe_2NiGa$ در فشار صفر ..... ۷۶	
جدول ۵-۱ مقایسه پارامتر شبکه، مدول حجمی و مشتق آن در دو فاز فرومغناطیسی و غیرمغناطیسی برای ترکیب‌های $FeAlCo$ و $FeAlNi$ ..... ۸۰	
جدول ۵-۲ گشتاور مغناطیسی کل و جزئی هر یک از ترکیب‌های $FeAlCo$ و $FeAlNi$ در فشار صفر ..... ۹۳	

## فصل اول

### زمینه‌ی نظری و تجربی آلیاژهای هاسلر

#### ۱-۱ مقدمه

کشف آلیاژهای هاسلر به سال ۱۹۰۳ میلادی بر می‌گردد. فردیک هاسلر شیمیدان و مهندس معدن آلمانی گزارش داد افزودن عناصر sp (Al, In, Sn, Sb or Bi) به آلیاژ Cu-Mn با وجود آن که آلیاژ شامل هیچ یک از عناصر فرومغناطیسی نیست، آن را به یک ماده‌ی فرومغناطیس تبدیل می‌کند. مفهوم پایه‌ای ساختار بلوری و ترکیب این آلیاژها هنوز پس از سال‌های طولانی ناشناخته باقی مانده است. در سال ۱۹۲۹ میلادی اندازه‌گیری اشعه‌ی X پاتر<sup>۱</sup> بر روی Cu-Mn-Al معلوم کرد همه‌ی اجزای این سیستم بر اساس یک ابر شبکه‌ی fcc نظم گرفته‌اند. برادلی و رد گرز<sup>۲</sup> جزئیات سیستم Cu-Mn-Al را با استفاده از اشعه‌ی X و پراکنده‌گی محاسبه کردند و رابطه‌ی بین ترکیب، مرتبه‌ی شیمیایی و ویژگی‌های مغناطیسی را ثابت کردند. بعد از درک ساختار بلوری محاسبات بسیاری انجام شد و معلوم شد ساختار هاسلر در اصل از ترکیب منظم ترکیب دوتایی B<sub>2</sub>XY و XZ شکل گرفته است [۱]. هر دو ترکیب می‌توانند

<sup>1</sup> Potter

<sup>2</sup> Bradley and Rodgers

ساختار بلوری نوع  $\text{CsCl}$  داشته باشند، به عنوان مثال  $\text{CoMn}$  و  $\text{CoAl}$  ترکیب  $\text{Co}_2\text{MnAl}$  را تشکیل می‌دهند. پس توانایی ترکیب‌ها برای شکل دادن ساختار  $\text{B}_{2\text{B}}$  امکان تشکیل ترکیب‌های هاسлер جدید را نشان می‌دهد. مطالعات تجربی نشان می‌دهد که اغلب ترکیب‌های هاسлер با استوکیومتری فرومغناطیسی نظم می‌گیرند. ساختار بلوری، ترکیب و رفتار گرمایی عامل‌های مهمی در تعیین ویژگی‌های مغناطیسی هستند. با کشف فرومغناطیسی‌های نیم‌فلزی در  $\text{NiMnSb}$  و اثر shape memory [۲] در ترکیب  $\text{Ni}_2\text{MnGa}$  آلیازهای هاسлер به طرز چشم‌گیری مورد توجه مطالعات نظری و تجربی قرار گرفتند. در این فصل خلاصه‌ای از مطالعات نظری و تجربی پیشین که بر روی ویژگی‌های مغناطیسی و ساختاری آلیازهای هاسлер انجام گرفته است را ارائه می‌کنیم. امروزه به دو دسته از مواد آلیازهای هاسлер گفته می‌شود:

۱- آلیازهای نیم هاسлер با فرمول عمومی  $\text{XYZ}$

۲- آلیازهای تمام هاسлер با فرمول عمومی  $\text{X}_2\text{YZ}$

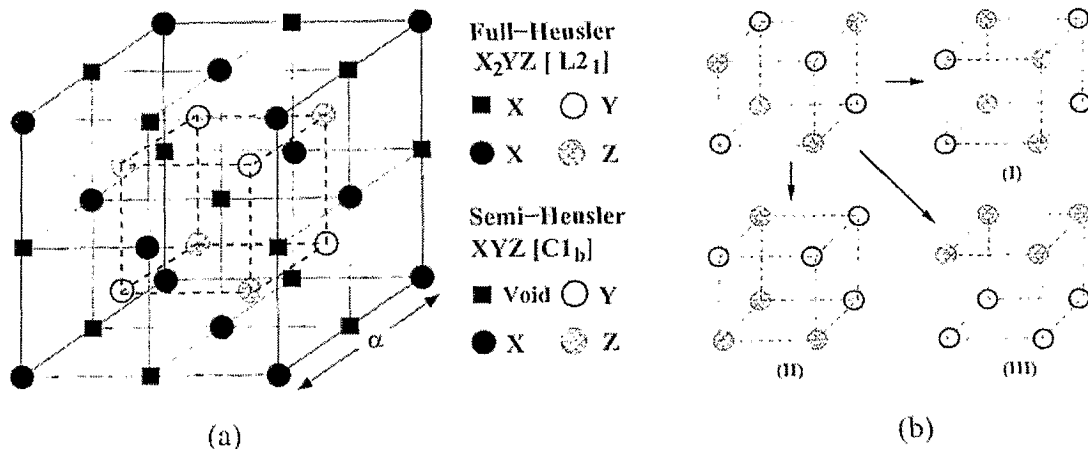
عناصر  $X$  و  $Y$  از گروه فلزات واسطه هستند در حالی که مولفه‌ی  $Z$  عنصری از گروه V-III است. آلیازهای نیم و تمام هاسлер به ترتیب با ساختارهای  $\text{C}1_b$  و  $\text{L}2_1$  نمایش داده می‌شوند. این ترکیب‌ها رفتار مغناطیسی بسیار قوی نشان می‌دهند. در خانواده‌ی یکسان آلیازها پدیده‌های مغناطیسی متفاوتی وجود دارد.

## ۲-۱ ویژگی‌های ساختاری

آلیازهای هاسлер به عنوان ترکیب‌های بین فلزی سه‌گانه تعریف می‌شوند. در ترکیب استوکیومتری، آلیازهای هاسлер کامل  $\text{X}_2\text{YZ}$  و آلیازهای نیم هاسлер  $\text{XYZ}$  به ترتیب در ساختارهای  $\text{L}2_1$  و  $\text{C}1_b$  به بلور تبدیل می‌شوند (شکل ۱-۱ را بینید[۳]). عناصر معمولاً با  $X$ ،  $Y$  و  $Z$  نشان داده می‌شوند که در جدول ۱-۱ نشان داده شده‌اند.

سلول واحد شامل چهار زیر شبکه‌ی در هم آمیخته‌ی  $\text{fcc}$  است که مکان‌های آنها  $(0,0,0)$  و  $(\frac{1}{2}, \frac{1}{2}, \frac{1}{2})$  برای اتم  $X$ ،  $(\frac{1}{4}, \frac{1}{4}, \frac{1}{4})$  برای اتم  $Y$  و  $(\frac{3}{4}, \frac{3}{4}, \frac{3}{4})$  برای اتم  $Z$  است. مکان  $(\frac{1}{2}, \frac{1}{2}, \frac{1}{2})$  در ترکیب‌های نیم هاسлер خالی است. ساختار  $\text{C}1_b$  می‌تواند از ساختار  $\text{L}2_1$  با جاگذاری نصف مکان‌های  $X$  به یک روش منظم به دست آید. در اغلب آلیازهای هاسлер عنصر  $\text{Mn}$  به جای عنصر  $Y$  قرار می‌گیرد. ترکیب‌هایی که در آنها عنصر  $\text{Mn}$  در مکان‌های  $X$  قرار می‌گیرد، نادر هستند.

تاکنون فقط دو سیستم از این نوع به صورت آزمایشگاهی مطالعه شده‌اند،  $Mn_2VAl$  و  $Mn_2VGa$ <sup>۴</sup>. در ترکیب استوکیومتری، بی‌نظمی به شکل تغییر جزئی اتم‌ها در زیرشبکه‌های مختلف می‌تواند وجود داشته باشد.



شکل ۱-۱ (a) ساختارهای  $L2_1$  و  $C1_b$  آلیاژهای نیم و تمام هاسلر. شبکه شامل ۴ شبکه‌ی نفوذی fcc است. در آلیاژهای نیم‌هاسلر (XYZ) یکی از چهار زیرشبکه خالی است. در صورت یکسان بودن همه‌ی اتم‌ها شبکه bcc است. (b) سه آرایش ممکن برای اشغال زیرشبکه‌های Y و Z در ساختار بی‌نظم  $B_2$

جانستون و هال<sup>۵</sup> پیشنهاد کردند فقط یک پارامتر بی‌نظمی  $\alpha$ ، اثرات انواع معین بی‌نظمی موثر در بزرگی ساختار آلیاژهای نوع  $X_2YZ$  را توضیح دهد. برای آلیاژهای نظم گرفته در ساختار  $L2_1$ ،  $L2_1/\text{B}_2$  به صورت کسری از اتم‌های Y یا Z که در جای درست خود نیستند تعریف می‌شود. اشغال جزئی اتم‌های Y یا Z روی هر زیرشبکه‌ی دیگر منجر به بی‌نظمی نوع  $L2_1-\text{B}_2$  می‌شود. ساختار نوع  $\text{B}_2$  با تغییر مکان نیمی از اتم‌های Y و Z به دست می‌آید. نسبت  $L2_1/\text{B}_2$  به رفتار گرمابستگی دارد. به دلیل فاصله‌های بین اتمی کوچک‌تر در ساختار نوع  $\text{B}_2$ ، یک نظم آنتی‌فرومغناطیس شکل می‌گیرد.

<sup>3</sup> Johnston and Hall

### ۱-۳-۲ ویژگی‌های مغناطیسی

آلیاژهای هاسلر ویژگی‌های مغناطیسی بسیار جالبی دارند. در خانواده‌ای از آلیاژهای یکسان پدیده‌های مغناطیسی متفاوتی مانند مغناطیس جایگزینده و سیار، آنتی فرومغناطیس، هلی مغناطیس<sup>۴</sup>، پارامغناطیس پائولی یا رفتار فرمیونی سنگین را می‌توان مطالعه کرد[۵].

### ۱-۳-۱ فرومغناطیس‌ها

بیشتر آلیاژهای هاسلر آرایش فرومغناطیسی می‌گیرند و در یک میدان اعمال شده‌ی مغناطیسی ضعیف اشباع می‌شوند. اگر گشتاور مغناطیسی توسط اتم‌های Mn ایجاد شده باشد، همان طور که اغلب در آلیاژهای  $X_2MnZ$  این گونه است، معمولاً مقداری نزدیک به  $\mu_B$  برای آن مشاهده می‌شود[۵]. با وجود آن که این ترکیب‌ها فلزند، ویژگی‌های مغناطیسی جایگزینده دارند و دستگاه‌هایی ایده‌آل برای مطالعه اثرات بی‌نظمی اتمی و تغییرات غلظت الکترون بر روی ویژگی‌های مغناطیسی‌اند. برای تعیین قانون حاکم بر اتم‌های (X) ۳d و اتم‌های sp (Z) درمورد ویژگی‌های مغناطیسی آلیاژهای هاسلر اندازه‌گیری‌های زیادی بر روی آلیاژهای هاسلر چهارگانه انجام شد[۵] و دیده شد که غلظت الکترون sp در تایید ویژگی‌های مغناطیسی، شکل گشتاور مغناطیسی و نوع نظم مغناطیسی مهم است. در جدول ۱-۱ آلیاژهای هاسلر مغناطیسی که شامل فلزات واسطه‌ی (V, Cr, Mn, Fe, ۳d و ۴d عناصر Y و Co, Ni) هنگامی که به جای X قرار می‌گیرند نشان داده شده است.

---

<sup>۴</sup> Helimagnetism

جدول ۱-۱ ترکیب، آرایش مغناطیسی و ساختار بلوری آلیاژهای هاسلر. اطلاعات آزمایشگاهی از مرجع [۵]  
گرفته شده‌اند.

Y	X	Z	Magnetic order	Crystal structure
V	Mn	Al, Ga	FM*	L2 <sub>1</sub>
	Fe	Al, Ga	FM	L2 <sub>1</sub>
	Fe	Si	PM	L2 <sub>1</sub>
	Co	Al, Ga, Sn	FM	L2 <sub>1</sub>
Cr	Co	Al, Ga	FM	L2 <sub>1</sub>
	Fe	Al, Ga	FM	L2 <sub>1</sub>
Mn	Cu	Al, In, Sn	FM	L2 <sub>1</sub>
	Cn	Sb	AFM	C1 <sub>b</sub>
	Ni	Al	AFM	B2
	Ni	Sb	FM	C1 <sub>b</sub>
	Ni	Al, Ga, In, Sn, Sb	FM	L2 <sub>1</sub>
	Co	Al, Si, Ga, Ge, Sn	FM	L2 <sub>1</sub>
	Co	Sb	FM*	C1 <sub>b</sub>
	Fe	Al, Si	FM	L2 <sub>1</sub>
	Pd	Al	AFM	B2
	Pd	In	AFM	L2 <sub>1</sub> -B2
	Pd	Ge, Sn, Sb	FM	L2 <sub>1</sub>
	Pd	Sb	FM	C1 <sub>b</sub>
	Pd	Te	AFM	C1 <sub>b</sub>
	Rh	Al, Ga, In	FM	B2
	Rh	Ge, Sn, Pb	FM	L2 <sub>1</sub>
	Rh	Sb	FM	C1 <sub>b</sub>
	Ru	Ga	FM	C1 <sub>b</sub>
Au	Zn, Cu		AFM	B2
	Au	Al, Ga, In	AFM	L2 <sub>1</sub>
	Au	Sb	FM	C1 <sub>b</sub>
	Pt	Al, Ga	AFM	L2 <sub>1</sub>
	Pt	Ga	FM	C1 <sub>b</sub>
	Ir	Al	AFM	L2 <sub>1</sub>
Fe	Ir	Ga	AFM	C1 <sub>b</sub>
	Fe	Al, Si	FM	D0 <sub>3</sub>
	Co	Al, Si, Ga	FM	L2 <sub>1</sub>
	Co	Fe	FM	L2 <sub>1</sub>
Ni	Fe	Al, Ga	PM	L2 <sub>1</sub>

FM\*:Ferrimagnetic